#### Méthode des éléments finis Formulation intégrale du problème modèle de la barre

Prof. F. Gallaire

- Orthogonalité (au sens du produit scalaire dans  $H^1$ ) entre erreur  $e^h = u u^h$  et déplacement approché  $u^h$ 
  - Forme faible approchée

$$u^{h} \in U^{h}: \int_{0}^{\ell} EA \left( \frac{du^{h}}{dx} \right) \left( \frac{d\delta u^{h}}{dx} \right) dx$$

$$= P \delta u^{h}(\ell) + \int_{0}^{\ell} q \delta u^{h} dx \quad \forall \ \delta u^{h} \in V^{h}$$

Forme faible exacte avec  $\delta u = \delta u^h \ (V^h \subset V)$ 

$$u \in U : \int_0^{\ell} EA \left( \frac{du}{dx} \right) \left( \frac{d\delta u^h}{dx} \right) dx$$
$$= P \delta u^h(\ell) + \int_0^{\ell} q \delta u^h dx \quad \forall \ \delta u^h \in V^h$$

Soustraction des deux équations

$$\int_{0}^{\ell} EA \left( \frac{du}{dx} - \frac{du^{h}}{dx} \right) \left( \frac{d\delta u^{h}}{dx} \right) dx$$

$$= \int_{0}^{\ell} EA \left( \frac{de^{h}}{dx} \right) \left( \frac{d\delta u^{h}}{dx} \right) dx = 0 \quad \forall \quad \delta u^{h} \in V^{h}$$

$$e^{h} \quad \text{fonction erreur}$$

$$e^{h} = u - u^{h}$$

$$u^{h} \quad \text{projection}$$

$$de \quad u \quad \text{sur } V^{h}$$

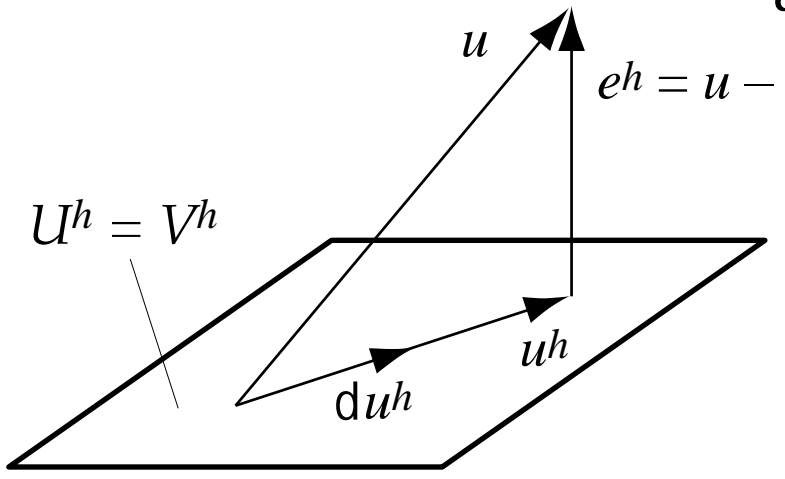
21/10/2021 -81-

Soustraction des deux équations

$$\int_{0}^{\ell} EA \left( \frac{du}{dx} - \frac{du^{h}}{dx} \right) \left( \frac{d\delta u^{h}}{dx} \right) dx$$

$$= \int_{0}^{\ell} EA \left( \frac{de^{h}}{dx} \right) \left( \frac{d\delta u^{h}}{dx} \right) dx = 0 \quad \forall \ \delta u^{h} \in V^{h}$$

$$e^{h} \text{ fonction erreur}$$





 $u^h$  projection de u sur  $V^h$ 



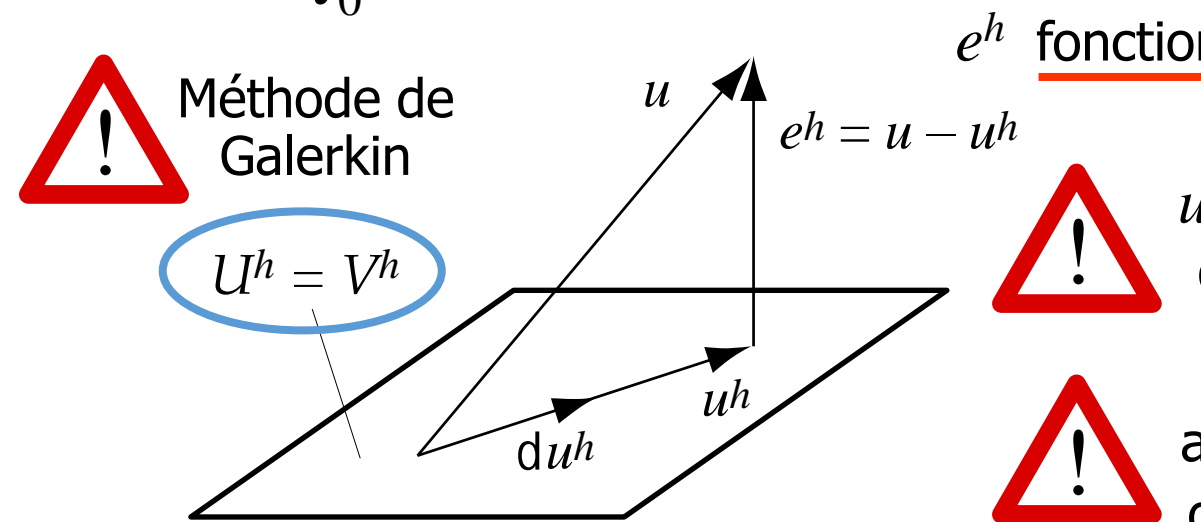
 $u^h$  meilleure approximation de u dans  $U^h$ 

Soustraction des deux équations

$$\int_{0}^{\ell} EA \left( \frac{du}{dx} - \frac{du^{h}}{dx} \right) \left( \frac{d\delta u^{h}}{dx} \right) dx$$

$$= \int_{0}^{\ell} EA \left( \frac{de^{h}}{dx} \right) \left( \frac{d\delta u^{h}}{dx} \right) dx = 0 \quad \forall \ \delta u^{h} \in V^{h}$$

$$e^{h} \text{ fonction erreur}$$



 $u^h$  projection de u sur  $V^h$ 

 $u^h$  meilleure approximation de u dans  $U^h$ 

- Meilleure approximation  $u^h$  de la solution cherchée u dans le sous-espace  $U^h$ 
  - Norme de l'écart entre la solution u et le déplacement virtuel  $\delta u^h$

$$\int_{0}^{\ell} [d(u - \delta u^{h})/dx]^{2} dx$$

$$= \int_{0}^{\ell} [d(u - u^{h} + u^{h} - \delta u^{h})/dx]^{2} dx$$

$$= \int_{0}^{\ell} [d(u - u^{h})/dx]^{2} dx + \int_{0}^{\ell} [d(u^{h} - \delta u^{h})/dx]^{2} dx$$

$$+ 2 \int_{0}^{\ell} [d(u - u^{h})/dx] [d(u^{h} - \delta u^{h})/dx] dx$$

- Meilleure approximation  $u^h$  de la solution cherchée u dans le sous-espace  $U^h$ 
  - Norme de l'écart entre la solution u et le déplacement virtuel  $\delta u^h$

$$\int_{0}^{\ell} [d(u - \delta u^{h})/dx]^{2} dx$$

$$= \int_{0}^{\ell} [d(u - u^{h} + u^{h} - \delta u^{h})/dx]^{2} dx$$

$$= \int_{0}^{\ell} [d(u - u^{h})/dx]^{2} dx + \int_{0}^{\ell} [d(u^{h} - \delta u^{h})/dx]^{2} dx$$

$$+ 2 \int_{0}^{\ell} [d(u - u^{h})/dx] [d(u^{h} - \delta u^{h})/dx] dx$$

21/10/2021 -85-

Insertion du déplacement virtuel  $w^h = u^h - \delta u^h$  ( $w^h \in V^h$ )  $\int_0^\ell \left[ \mathrm{d}(u - \delta u^h) / \mathrm{d}x \right]^2 \, \mathrm{d}x$  $= \int_0^\ell \left[ \mathrm{d}(u - u^h) / \mathrm{d}x \right]^2 \, \mathrm{d}x + \int_0^\ell \left( \mathrm{d}w^h / \mathrm{d}x \right)^2 \, \mathrm{d}x$  $+ 2 \int_0^\ell \left[ \mathrm{d}(u - u^h) / \mathrm{d}x \right] \left( \mathrm{d}w^h / \mathrm{d}x \right) \, \mathrm{d}x$ 

21/10/2021 -86-

Insertion du déplacement virtuel  $w^h = u^h - \delta u^h \ (w^h \in V^h)$ 

$$\int_{0}^{\ell} [d(u - \delta u^{h})/dx]^{2} dx$$

$$= \int_{0}^{\ell} [d(u - u^{h})/dx]^{2} dx + \int_{0}^{\ell} (dw^{h}/dx)^{2} dx$$

$$+ 2 \int_{0}^{\ell} [d(u - u^{h})/dx] (dw^{h}/dx) dx$$

Prise en compte de l'orthogonalité de la solution  $(w^h \in V^h)$ 

$$\int_0^\ell \left[ d(u - \delta u^h) / dx \right]^2 dx$$

$$= \int_0^\ell \left[ d(u - u^h) / dx \right]^2 dx + \int_0^\ell \left( dw^h / dx \right)^2 dx$$

-87-

Réorganisation de l'égalité

$$\int_0^\ell \left[ d(u - u^h)/dx \right]^2 dx$$

$$= \int_0^\ell \left[ d(u - \delta u^h)/dx \right]^2 dx - \int_0^\ell (dw^h/dx)^2 dx$$

Meilleure approximation dans le sous-espace

$$\int_0^{\ell} [d(u - u^h)/dx]^2 dx$$

$$\leq \int_0^{\ell} [d(u - \delta u^h)/dx]^2 dx \quad \forall \ \delta u^h \in V^h$$



Optimalité des méthodes de Galerkin et des éléments finis

Réorganisation de l'égalité

$$\int_0^\ell \left[ d(u - u^h) / dx \right]^2 dx$$

$$= \int_0^\ell \left[ d(u - \delta u^h) / dx \right]^2 dx - \int_0^\ell \left( dw^h / dx \right)^2 dx$$

Meilleure approximation dans le sous-espace

$$\int_0^{\ell} [d(u - u^h)/dx]^2 dx$$

$$\leq \int_0^{\ell} [d(u - \delta u^h)/dx]^2 dx \quad \forall \ \delta u^h \in V^h$$



Optimalité des méthodes de Galerkin et des éléments finis

 Précision locale optimale (valeurs nodales exactes de la solution): superconvergence

Démonstration p. 38 du cours



Superconvergence liée à l'allure de la forme forte et au choix des fonctions de base

- Estimations asymptotiques d'erreur
  - Rappel de la définition de l'erreur d'approximation

$$e^h(x) = u(x) - u^h(x)$$

Norme maximale de l'erreur (norme  $C^0$ )

$$|e^h|_0 = \max_{0 \le x \le \ell} |e^h|$$

- Norme euclidienne de l'erreur (norme  $H^0$ )

$$\|e^h\|_0 = \left[\int_0^\ell (e^h)^2 dx\right]^{1/2}$$

Norme énergétique de l'erreur (norme  $H^1$ )

$$\|e^h\|_1 = \left[\int_0^\ell \left[(e^h)^2 + (\mathrm{d}e^h/\mathrm{d}x)^2\right] \mathrm{d}x\right]^{1/2}$$
erreur sur le erreur sur la déplacement déformation



Semi-norme de l'énergie de déformation (norme  $H_F^1$  de l'erreur)

$$\|e^h\|_E = \left[\int_0^\ell (de^h/dx)^2 dx\right]^{1/2}$$
  $\|e^h\|_E \to 0$   $\sin e^h \to 0$ 



- Semi-norme de l'énergie de déformation (norme  $H_{\!E}^1$  de l'erreur)

$$\|e^h\|_E = \left[\int_0^\ell (\mathrm{d}e^h/\mathrm{d}x)^2 \,\mathrm{d}x\right]^{1/2}$$

Estimations asymptotiques de l'erreur

$$\|e^h\|_k \le C_k h^p$$
  $(h/\ell << 1)$   $k$  type de norme

 $C_k$  facteur de convergence

p taux de convergence (p = m + 1 - k)

m degré du polynôme complet caractérisant les fonctions de base  $h_i(x)$ 

h longueur caractéristique du réseau ( $h = \max^{e} \ell$ )

- Semi-norme de l'énergie de déformation (norme  $H_{\!E}^1$  de l'erreur)

$$\|e^h\|_E = \left[\int_0^\ell (\mathrm{d}e^h/\mathrm{d}x)^2 \,\mathrm{d}x\right]^{1/2}$$

Estimations asymptotiques de l'erreur

$$\|e^h\|_k \le C_k p$$
  $(h/\ell << 1)$   $k$  type de norme

 $C_k$  facteur de convergence

p taux de convergence (p = m + 1 - k)

m degré du polynôme complet caractérisant les fonctions de base  $h_i(x)$ 

h longueur caractéristique du réseau ( $h = \max^{e} \ell$ )

- Semi-norme de l'énergie de déformation (norme  $H_{\!E}^1$  de l'erreur)

$$\|e^h\|_E = \left[\int_0^\ell (\mathrm{d}e^h/\mathrm{d}x)^2 \,\mathrm{d}x\right]^{1/2}$$

Estimations asymptotiques de l'erreur

$$\|e^h\|_k \le C_k h^p$$
  $(h/\ell << 1)$   $k$  type de norme

 $C_k$  facteur de convergence

p taux de convergence (p = m+1-k)

m degré du polynôme complet caractérisant les fonctions de base  $h_i(x)$ 

h longueur caractéristique du réseau ( $h = \max^{e} \ell$ )

- Semi-norme de l'énergie de déformation (norme  $H_{\!E}^1$  de l'erreur)

$$\|e^h\|_E = \left[\int_0^\ell (\mathrm{d}e^h/\mathrm{d}x)^2 \,\mathrm{d}x\right]^{1/2}$$

Estimations asymptotiques de l'erreur

$$\|e^h\|_k \le C(h^p)$$
  $(h/\ell << 1)$  k type de norme

 $C_k$  facteur de convergence

p taux de convergence (p = m + 1 - k)

m degré du polynôme complet caractérisant les fonctions de base  $h_i(x)$ 

h longueur caractéristique du réseau ( $h = \max^{e} \ell$ )

- Semi-norme de l'énergie de déformation (norme  $H_{\!E}^1$  de l'erreur)

$$\|e^h\|_E = \left[\int_0^\ell (\mathrm{d}e^h/\mathrm{d}x)^2 \,\mathrm{d}x\right]^{1/2}$$

Estimations asymptotiques de l'erreur

$$\|e^h\|_k \le C_k h^p$$
  $(h/\ell << 1)$   $k$  type de norme

 $C_k$  facteur de convergence

p taux de convergence (p = m + 1 - k)

m degré du polynôme complet caractérisant les fonctions de base  $h_i(x)$ 

h longueur caractéristique du réseau ( $h = \max^{e} \ell$ )

Estimations d'erreur a priori avec des fonctions de base linéaires

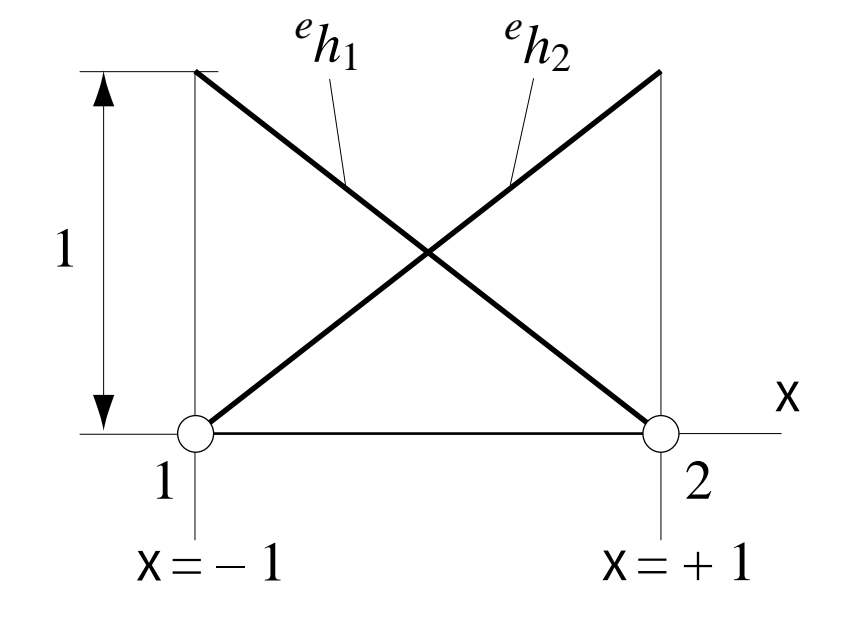
$$m = 1$$

$$p = 2 - k$$

$$\|e^h\|_0 \le C_0 h^2$$

$$\|e^h\|_E \le C_E h$$

$$\|e^h\|_1 \le C_1 h$$



$$(\mid e^h\mid_0 \leq C_0'h^2)$$

Estimations d'erreur *a priori* avec des fonctions de base linéaires

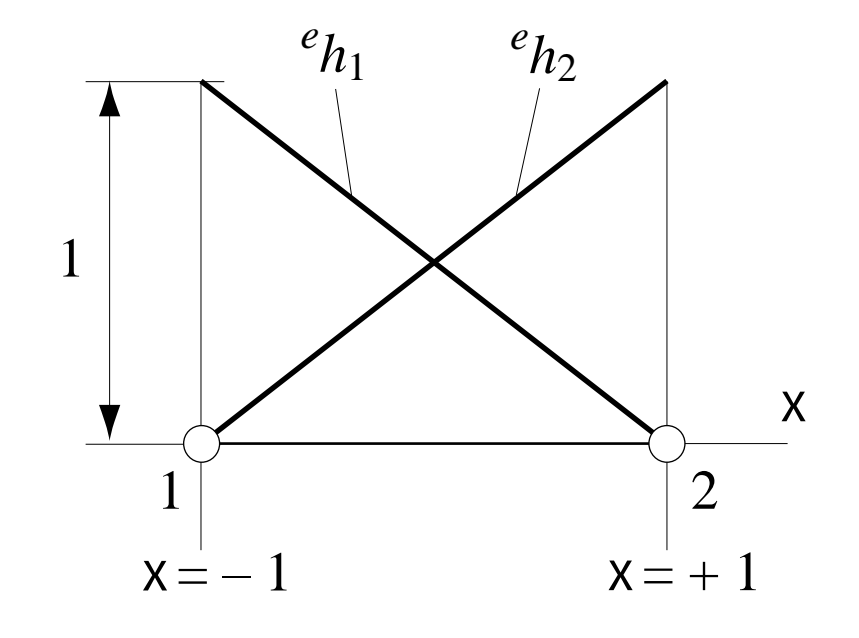
$$m = 1$$

$$p = 2 - k$$

$$\|e^h\|_0 \le C_0 h^2$$

$$\|e^h\|_E \le C_E h$$

$$\|e^h\|_1 \le C_1 h$$



-99-

Estimations d'erreur a priori avec des fonctions de base linéaires

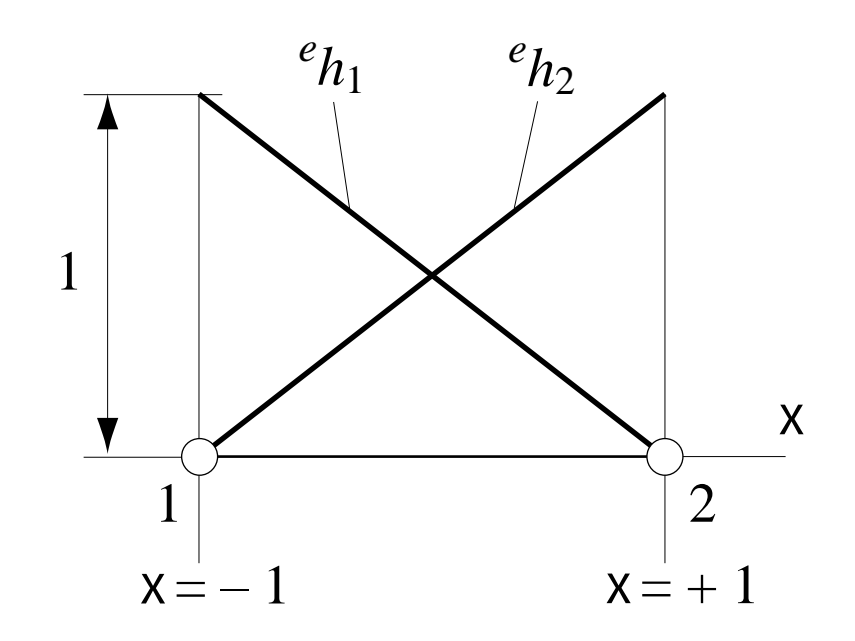
$$m = 1$$

$$p = 2 - k$$

$$\|e^h\|_0 \le C_0 h^2$$

$$\|e^h\|_E \le C_E h$$

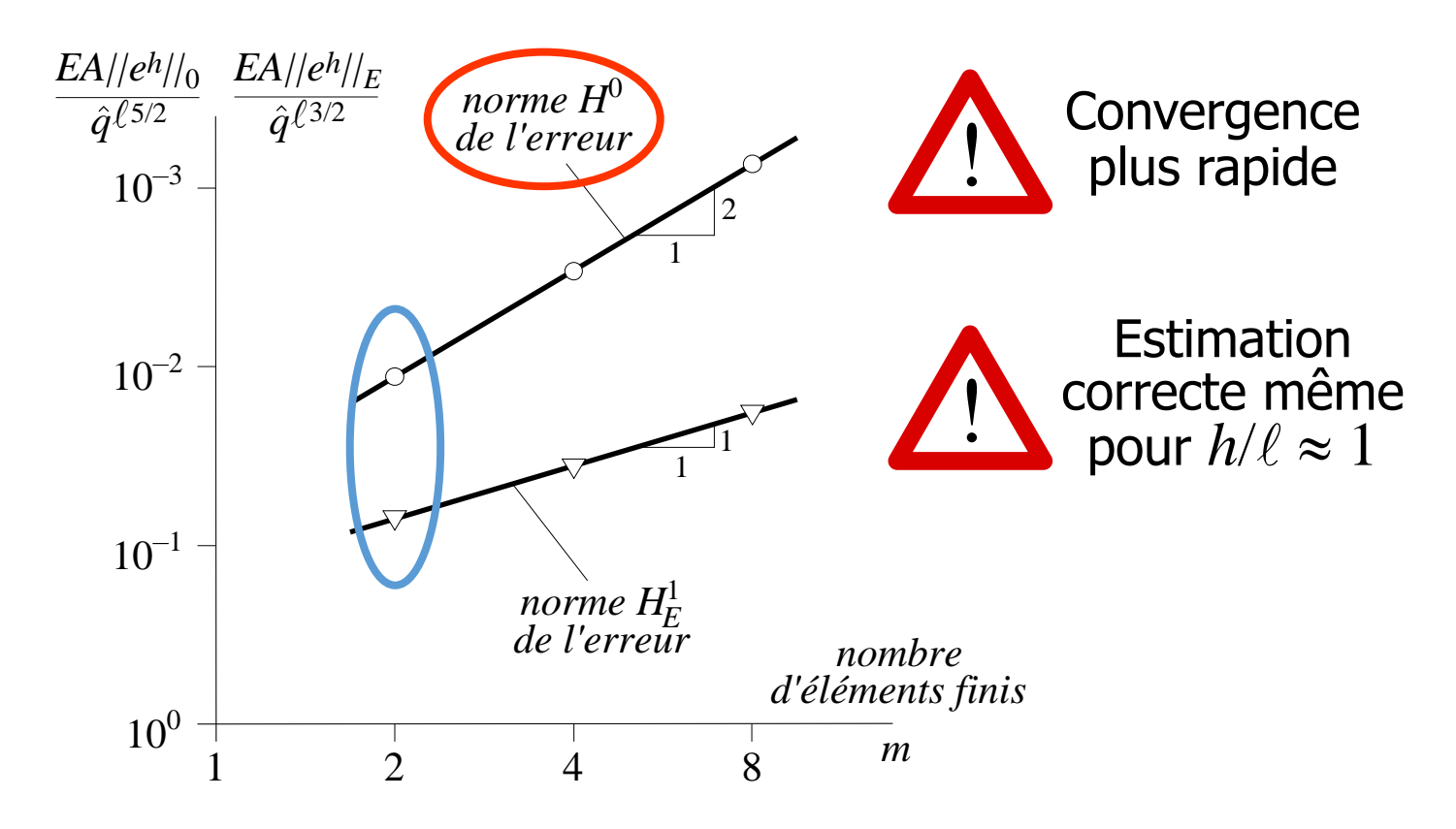
$$\|e^h\|_1 \le C_1 h$$





Taux de convergence déplacement ⇔ déformation

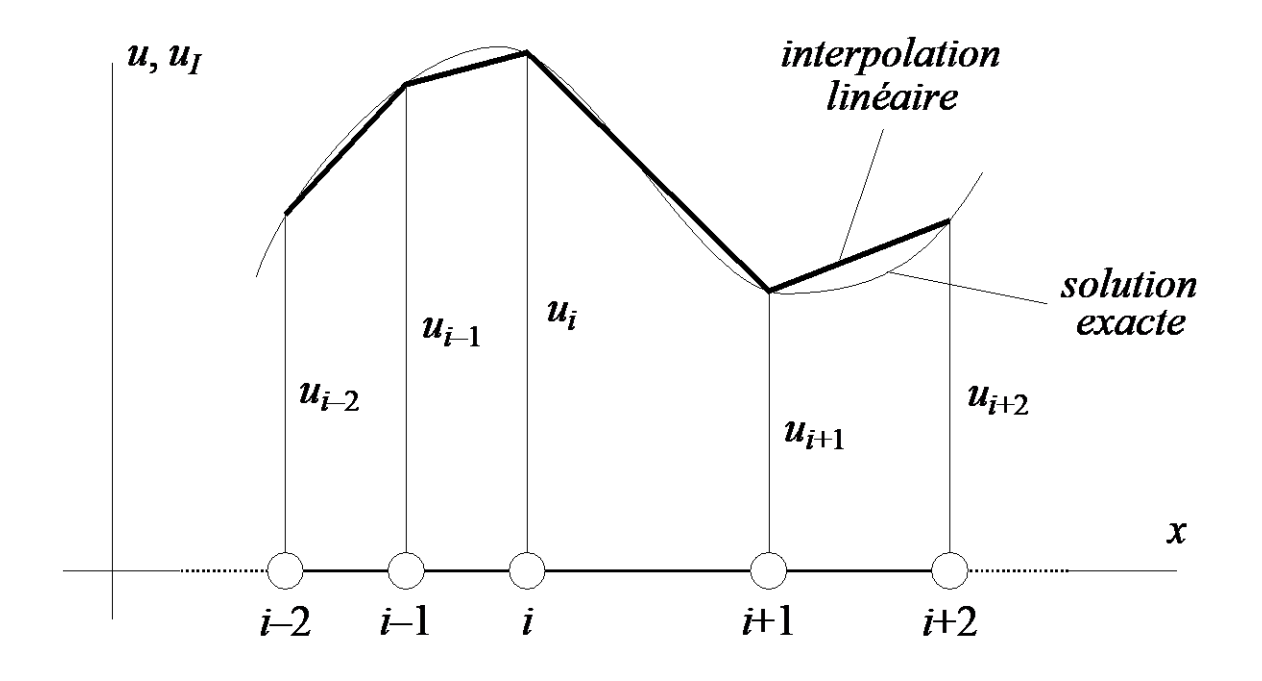
Exemple : problème de la barre soumise à une charge répartie



-101-

- Etablissement de la norme énergétique de l'erreur
  - Interpolation linéaire du déplacement (solution exacte aux nœuds)

$$u_I(x_i) = u(x_i) = u_i$$
  $(i = 1, 2, ..., p)$ 



Décomposition en série de Fourier du résidu entre solution exacte et interpolation nodale entre deux nœuds successifs

$$\rho(x) = u(x) - u_I(x) = \sum_{m=1}^{\infty} a_m \sin \frac{m \pi x}{e_{\ell}} \quad (0 \le x \le e^{\ell})$$

$${}^{e}\ell \quad \text{longueur de l'élément fini}$$

Norme des dérivées première et seconde de la fonction résidu

$$\int_{0}^{e_{\ell}} (d\rho/dx)^{2} dx = \frac{e_{\ell}}{2} \sum_{m=1}^{\infty} \left( \frac{m\pi}{e_{\ell}} \right)^{2} a_{m}^{2}$$

$$\int_{0}^{e_{\ell}} (d^{2}\rho/dx^{2})^{2} dx = \frac{e_{\ell}}{2} \sum_{m=1}^{\infty} \left( \frac{m\pi}{e_{\ell}} \right)^{4} a_{m}^{2}$$

Inégalité de Poincaré-Friedrich ( $m \le m^2$  pour  $m \ge 1$ )

$$\left(\frac{m\pi}{e_{\ell}}\right)^{2} a_{m}^{2} \leq \frac{e_{\ell}^{2}}{\pi^{2}} \left(\frac{m\pi}{e_{\ell}}\right)^{4} a_{m}^{2} \qquad (m \geq 1)$$

$$\Rightarrow \int_{0}^{e_{\ell}} (\mathrm{d}\rho/\mathrm{d}x)^{2} \, \mathrm{d}x \leq \frac{e_{\ell}^{2}}{\pi^{2}} \int_{0}^{e_{\ell}} (\mathrm{d}^{2}\rho/\mathrm{d}x^{2})^{2} \, \mathrm{d}x$$

- Caractérisation de la norme de la dérivée du résidu (élément  $^e\Omega$ )

$$\int_{0}^{e_{\ell}} (d\rho/dx)^{2} dx \leq \frac{e_{\ell}^{2}}{\pi^{2}} \int_{0}^{e_{\ell}} (d^{2}u/dx^{2})^{2} dx$$
 |  $u_{I}(x)$  | Inéaire  $\leq \frac{h^{2}}{\pi^{2}} \int_{0}^{e_{\ell}} (d^{2}u/dx^{2})^{2} dx$  |  $(h = \max_{e} e^{\ell}\ell)$ 

Extension de la caractérisation de la norme à l'ensemble du réseau

$$\int_0^{\ell} (d\rho/dx)^2 dx \le \frac{h^2}{\pi^2} \int_0^{\ell} (d^2u/dx^2)^2 dx$$

Caractérisation analogue de la norme du résidu

$$\int_0^\ell \rho^2 \, dx \le \frac{h^4}{\pi^4} \int_0^\ell (d^2 u / dx^2)^2 \, dx$$

Norme énergétique de la fonction résidu

$$\int_{0}^{\ell} \left[ \rho^{2} + (d\rho/dx)^{2} \right] dx \le \frac{h^{2}}{\pi^{2}} \left[ 1 + \frac{h^{2}}{\pi^{2}} \right] \int_{0}^{\ell} (d^{2}u/dx^{2})^{2} dx$$

$$\le \frac{h^{2}}{\pi^{2}} \int_{0}^{\ell} (d^{2}u/dx^{2})^{2} dx \qquad (h/\ell << 1)$$

Norme énergétique de l'erreur entre solution exacte et déplacement approché (norme  $H^1$ )

$$\int_0^\ell \left[ (e^h)^2 + (\mathrm{d}e^h/\mathrm{d}x)^2 \right] \mathrm{d}x \le \int_0^\ell \left[ \rho^2 + (\mathrm{d}\rho/\mathrm{d}x)^2 \right] \mathrm{d}x$$

$$\le \frac{h^2}{\pi^2} \int_0^\ell (\mathrm{d}^2u/\mathrm{d}x^2)^2 \, \mathrm{d}x \qquad \text{Meilleure approximation possible}$$

-106-

Norme énergétique de l'erreur entre solution exacte et déplacement approché (norme  $H^1$ )

$$\int_{0}^{\ell} \left[ (e^{h})^{2} + (de^{h}/dx)^{2} \right] dx \le \int_{0}^{\ell} \left[ \rho^{2} + (d\rho/dx)^{2} \right] dx$$
$$\le \frac{h^{2}}{\pi^{2}} \int_{0}^{\ell} (d^{2}u/dx^{2})^{2} dx$$

$$\Rightarrow \|e^h\|_1^2 \le \|\rho\|_1^2 \le \frac{h^2}{\pi^2} \|d^2u/dx^2\|_0^2$$

Norme énergétique de l'erreur entre solution exacte et déplacement approché (norme  $H^1$ )

$$\int_0^{\ell} \left[ (e^h)^2 + (de^h/dx)^2 \right] dx \le \int_0^{\ell} \left[ \rho^2 + (d\rho/dx)^2 \right] dx$$

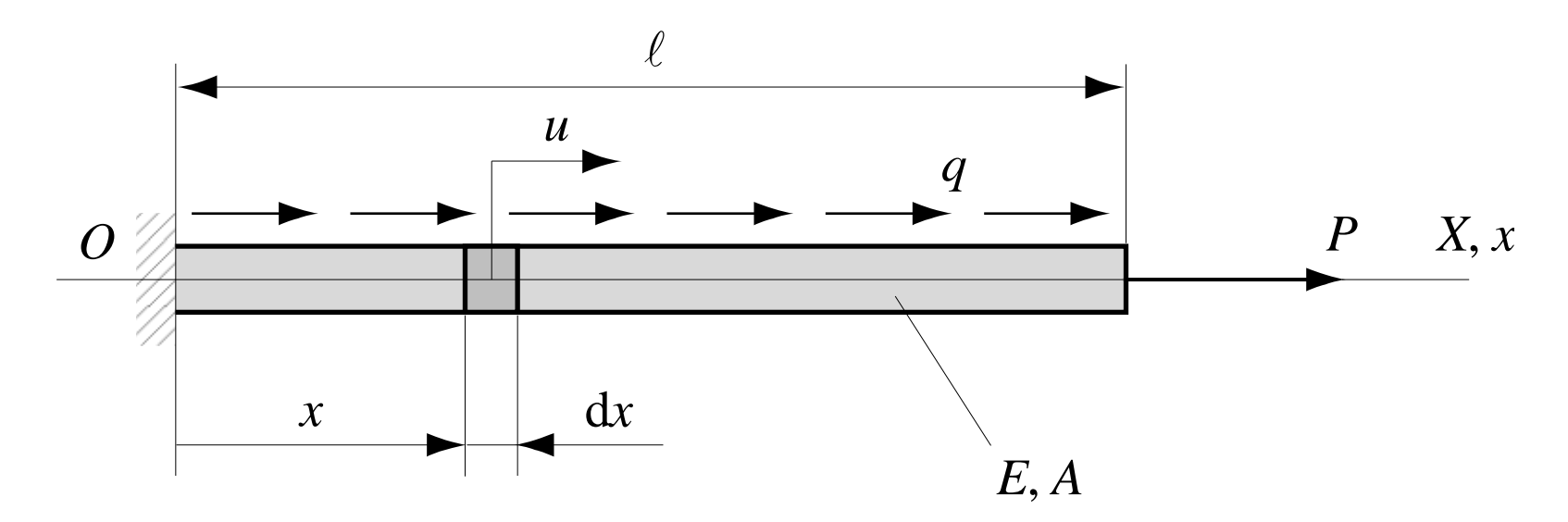
$$\le \frac{h^2}{\pi^2} \int_0^{\ell} (d^2u/dx^2)^2 dx$$

$$\Rightarrow \|e^h\|_1^2 \le \|\rho\|_1^2 \le \frac{h^2}{\pi^2} \|d^2u/dx^2\|_0^2$$

$$\Rightarrow \left( \|e^h\|_1 \le C_1 h \right) \quad (h/\ell << 1)$$

• Energie potentielle totale (fonctionnelle) du système

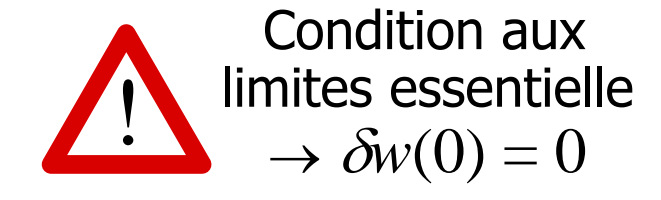
$$J(w) = \frac{1}{2} \int_0^{\ell} EA \, (\mathrm{d}w/\mathrm{d}x)^2 \, \mathrm{d}x \, - \, \left[ \int_0^{\ell} q \, w \, \mathrm{d}x \, + \, P \, w(\ell) \right]$$
 énergie de déformation travail des forces externes



-109-

- Approche variationnelle
  - Minimisation de la fonctionnelle

$$J(u) \leq J(w) \quad \forall \ w \in U$$



Variation première de la fonctionnelle

$$\delta J(w) = \int_0^{\ell} EA (dw/dx) (d\delta w/dx) dx$$

$$- \left[ \int_0^{\ell} q \, \delta w \, dx + P \, \delta w(\ell) \right]$$

$$= -\int_0^{\ell} \left[ EA (d^2 w/dx^2) + q \right] \, \delta w \, dx$$

$$+ \left[ EA (dw/dx) \Big|_{x=\ell} - P \right] \, \delta w(\ell)$$

Stationnarité de la fonctionnelle

$$\delta J(w = u) = 0 \quad \forall w \in U$$

$$\Rightarrow EA (d^2w/dx^2) + q = 0$$

$$EA (dw/dx)|_{x = \ell} - P = 0$$

Stationnarité de la fonctionnelle

$$\delta J(w = u) = 0 \quad \forall w \in U$$

$$\Rightarrow EA (d^2w/dx^2) + q = 0$$

$$EA (dw/dx)|_{x = \ell} \Rightarrow P = 0$$
équations d'Euler-Lagrange



Equivalence de la formulation variationnelle et de la forme forte

- Méthode de Ritz-Galerkin
  - Approximation de Ritz-Galerkin

$$w^h(x) = \sum_{i=1}^n \alpha_i h_i(x)$$



Analogie avec la méthode de Galerkin

Fonctionnelle approchée

$$J(w^h) = \frac{1}{2} \int_0^{\ell} EA \left( \frac{dw^h}{dx} \right)^2 dx$$
$$- \left[ \int_0^{\ell} q w^h dx + P w^h(\ell) \right]$$

Insertion de l'approximation dans la fonctionnelle approchée

$$J(w^h) = \frac{1}{2} \sum_{i=1}^n \sum_{j=1}^n \alpha_i \, k_{ij} \, \alpha_j - \sum_{i=1}^n \alpha_i \, r_i$$
 Analogie avec 
$$k_{ij} = \int_0^\ell EA \, (\mathrm{d}h_i/\mathrm{d}x) \, (\mathrm{d}h_j/\mathrm{d}x) \, \mathrm{d}x$$
 la formule de Clapeyron 
$$r_i = h_i(\ell) \, P \, + \, \int_0^\ell h_i \, q \, \mathrm{d}x$$

Clapeyron Minimisation de la fonctionnelle approchée

$$\partial J(w^h = u^h)/\partial \alpha_i = 0$$
  $(i = 1, 2, ..., n)$  Analogie avec la méthode  $\Rightarrow \sum_{i=1}^n k_{ij} \alpha_j = r_i$   $(i = 1, 2, ..., n)$  des éléments finis

Analogie avec finis

- Interprétation physique de la forme variationnelle approchée
  - Surestimation de l'énergie potentielle totale J

$$J(u) \le J(w) \quad \forall w \in U$$

$$\Rightarrow J(u) \le J(u^h) \quad \forall u^h \in U^h$$

Energie potentielle totale au point de stationnarité (w = u)

$$J(u) = \frac{1}{2} \int_0^{\ell} EA \, (du/dx)^2 \, dx \, - \, \int_0^{\ell} q \, u \, dx \, - \, P \, u(\ell)$$

• Forme faible au point de stationnarité ( $\delta u = u$ )

$$\int_0^\ell EA \ (du/dx)^2 \ dx = \int_0^\ell q \ u \ dx + P \ u(\ell)$$

Lien entre énergie potentielle totale J et énergie de déformation U

$$J(u) = -\frac{1}{2} \int_0^{\ell} EA (du/dx)^2 dx = -U(u)$$

Sous-estimation de l'énergie de déformation U

$$J(u) \leq J(u^h) \quad \forall \ u^h \in U^h$$

$$\Rightarrow U(u) \geq U(u^h) \quad \forall \ u^h \in U^h$$



Sous-estimation Surestimation des déplacements de la rigidité

